

# 初探 $\lambda_{\min} \geq -2$ 的简单图

Author: 张陈成, Student ID: 5190171910019

## 初探 $\lambda_{\min} \geq -2$ 的简单图

摘要

问题转化

$\lambda_{\min} \geq -2$  的简单图所对应的根系类

最简根系对应的 Coxeter 图

$A_n$  图

$D_n$  图

$E_{6,7,8}$  图

$\lambda_{\min} \geq -2$  简单图之分类

$\lambda_{\min} = -2$  的强正则图

参考文献

附图

## 摘要

本稿旨在解答课本<sup>[3]</sup>中的问题: 如何寻找并分类所有  $\lambda_{\min} \geq -2$  的简单图. 笔者结合前人工作(见参考文献)与个人所学, 整理了以下结论:

- 一切  $\lambda_{\min} \geq -2$  的简单图可由有限类标准图直接导出, 且上述标准图与 Coxeter 图直接对应.
- 一切  $\lambda_{\min} \geq -2$  的强正则图可被简单分类并列举.

$\lambda_{\min} \geq -2$  之简单图的分类工作肇端于 19 世纪 60 年代, 其提出者 Hoffman 已做出具体而微的成果. 而后 Doob, Cvetković 等研究者将根系理论引入该问题中, 基本解决了一般的  $\lambda_{\min} \geq -2$  之简单图的分类工作.

本文关于广义线图之定义参照<sup>[3]</sup>, 关于根系理论与 Coxeter 图之定义参照<sup>[4][5]</sup>, 关于 Petersen 图为例外图之证明参阅<sup>[1]</sup>. 一般  $\lambda_{\min} \geq -2$  之简单图的根系分类系笔者自行推导, 强正则图相关部分整理自<sup>[2][5]</sup>.

## 问题转化

任取  $G(V, E)$  为顶点数为  $n$  的简单图, 记  $A$  为其邻接矩阵. 当  $\lambda_{\min}(G) \geq 2$  时,  $A + 2I$  半正定, 则存在实数矩阵  $Q$  使得  $Q^T Q = A$ . 记列向量  $Q = (q_1 \ q_2 \ \cdots \ q_n)$ ,  $a_{ij}$  为  $A$  中第  $ij$  个元素, 则  $i \neq j$  时有  $a_{ij} = \langle q_i, q_j \rangle$ . 实际上

$$\langle q_i, q_j \rangle = \begin{cases} 0 & i \not\sim j, \\ 1 & i \sim j, \\ 2 & i = j. \end{cases}$$

视  $\{q_i\}$  为  $\mathbb{R}^n$  中以原点为起点的向量, 则诸  $q_i$  模长均为 2, 且两两成角为  $\pi/3$  或  $\pi/2$ .

由是可知, 任一满足  $\lambda_{\min} \geq -2$  的简单图与某组两两成角为  $\pi/2$  或  $\pi/3$  的单位向量集可建立一一对应. 实际上, 可采用根系 (root system) 理论研究一般欧式空间高度对称的向量系统, 关于根系理论的公理化叙述可参见<sup>[4]</sup>.

## $\lambda_{\min} \geq -2$ 的简单图所对应的根系类

沿用上节记号, 令  $c(Q) := \{\pm \frac{1}{\sqrt{2}} q_i\}$  为所有列向量对应的方向. 若  $c(Q)$  中存在夹角为  $\pi/3$  的两个向量  $\{x, y\}$ , 则  $\{x - y\}$  与  $c(Q)$  中所有向量的夹角余弦值仍为  $\{0, \pm 1/2, \pm 1\}$  中一者. 某种意义上, 在  $c(Q)$  中为成角为  $\pi/3$  的二元向量组添加差向量之操作可视作一种完备化. 依照以上步骤有限扩充  $c(Q)$  可直接导出更大的图  $\tilde{G}$ , 且原图  $G$  为  $\tilde{G}$  的删点子图. 由于每一  $c(Q)$  有唯一对应的  $c(\tilde{Q})$ , 下仅需研究所有可能的  $c(\tilde{Q})$ , 即满足以下条件的向量集  $\Phi$ :

1.  $\forall q \in \Phi, \|q\|_2 = 1, \pm q \in \Phi$ .
2.  $\forall x, y \in \Phi, \langle x, y \rangle \in \{0, \pm 1/2, \pm 1\}$ .
3. 若  $\exists x, y \in \Phi$  使得  $\langle x, y \rangle = 1/2$ , 则  $\pm(x - y) \in \Phi$ .
4. 为研究方便, 不妨设图连通(等价地称  $\Phi$  连通), 即不存在非空划分  $\Phi = \Phi_1 \dot{\cup} \Phi_2$  使得  $\forall (x, y) \in (\Phi_1, \Phi_2), \langle x, y \rangle \equiv 0$ .

下对  $\Phi$  删除若干元素以简化, 同时保证每一简化后的集合  $\Phi'$  与原集合  $\Phi$  唯一对应.

1. 选择  $\text{span}(\Phi)$  中半空间(开集)使得  $\Phi$  中恰有一半元素落在该半空间中. 例如选择  $\alpha \in \text{span}(\Phi)$  使得  $\forall x \in \Phi, \langle \alpha, x \rangle \neq 0$ . 记  $\Phi_\alpha^+ := \{x : \langle \alpha, x \rangle > 0\}$ .
2. 若存在  $x, y \in \Phi$  使得  $\langle x, y \rangle = -1/2$ , 则删去  $x + y$ , 如是重复直至不可再操作得  $\Phi'$ . 实际上, 分步操作等价于同时操作, 且最终对应的  $\Phi'$  唯一且连通.

下证明第二步中所述之论断. 视  $\Phi$  中元素为顶点集  $V(\Phi)$ , 构造带权重  $\pm 1$  的边集  $E(\Phi)$ , 其中权重定义为  $\langle v_i, v_j \rangle$  (权重为 0 即不连边). 依对  $\Phi$  之构造, 图  $G(\Phi)$  满足以下性质: 任意权重为  $-1$  的边含于唯一的三角形, 且该三角形其余两边权重均为 1.

实际上,  $G(\Phi')$  由  $G(\Phi)$  删去一切边权重为  $\{-1, -1, 1\}$  的三角形中权重为  $-1$  之边所对的顶点所得. 由于该些顶点确定, 故删除方式存在且唯一. 下考虑连通性: 若子图  $\triangle ABC$  中  $A$  点连接了  $\triangle ABC$  中两条权重为  $-1$  的边, 且  $A$  的度数大于 2, 则不妨设  $A \sim D$ . 由于  $1 = |\langle A, D \rangle| = |\langle B, D \rangle + \langle C, D \rangle| \neq 0$ , 从而  $D$  与  $B$  或  $C$  存在连边. 从而删除顶点  $A$  不会造成连通度的增加. 综上, 原论断正确.

自  $\Phi'$  补全为  $\Phi$  之方式更为简单, 只需确保一切权重为  $-1$  的边含于唯一的三角形, 且该三角形其余两边权重均为 1. 下称  $\Phi'$  为最简根系.

## 最简根系对应的 Coxeter 图

Coxeter 图之定义见附录. 本文中的  $G(\Phi')$  即一类特殊的 Coxeter 图.

$G(\Phi')$  满足如下性质:

1. 对任意  $\{x, y\} \subset \Phi', \langle x, y \rangle \leq 0$ .

实际上, 若存在夹角为  $\pi/3$  的  $\{x, y\}$ , 则  $\{\pm(x-y)\} \subset \Phi$ , 从而简化  $\Phi \rightarrow \Phi'$  之时  $x$  或  $y$  应被消除. 上以证明简化过程存在且唯一, 故矛盾.

2.  $G(\Phi')$  中边数  $e$  严格小于顶点数  $n$ .

据上条结论, 注意到

$$0 \leq \left\langle \sum_{x \in \Phi'} x, \sum_{x \in \Phi'} x \right\rangle = \sum_{x \in \Phi'} \langle x, x \rangle + 2 \sum_{i < j} \langle x_i, x_j \rangle \leq n - e.$$

取等时要求  $\Phi'$  中不等的向量间夹角恒为  $\pi/3$ , 即  $\Phi'$  由转化完全图之  $\Phi$  所得. 而  $2I + A(K_n)$  满秩, 从而一切满足  $Q^T Q = Q Q^T = (2I + A(K_n))$  的方阵满秩. 注意到一切对应  $\Phi$  的  $c(Q)$  的包含了某一等距同构于  $\Phi'$  的子集, 反之  $c(Q)$  无法补全至  $\Phi$ . 而  $\sum_{x \in \Phi'} x = 0$  说明  $\Phi'$  含有线性无关项, 从而  $c(Q)$  并非线性无关. 矛盾.

3. (已证明)  $G(\Phi')$  连通.

从而  $G(\Phi')$  为树. 下推导该类树的性质.

1.  $G(\Phi')$  中顶点度数不超过 3. 设  $\{x_i\}_{i=1}^k$  为  $y$  的邻点, 由于  $G(\Phi')$  无圈, 则  $\{x_i\}_{i=1}^k$  两两不交. 从而

$$1 = \langle y, y \rangle \geq \left\langle \sum_{i=1}^k \langle x_k, y \rangle x_k, \sum_{i=1}^k \langle x_k, y \rangle x_k \right\rangle \geq \sum_{i=1}^k \langle x_k, y \rangle^4 = \frac{k}{4}.$$

实际上, 第一处等号无法取到 (即  $y$  与  $\{x_i\}_{i=1}^k$  线性无关); 反之设  $y = \sum_{i=1}^k c_i x_i$ , 则  $\langle y, y \rangle = \sum_{i=1}^k c_i^2 = 1$ .  $c_i = \langle x_i, y \rangle \in \{-1/2, 0\}$ , 从而  $y$  与至少四个元素夹角为  $2\pi/3$ . 从而  $y$  在  $G(\Phi)$  中含于某一三角形, 且  $y$  在该三角形中连边均为 1, 从而  $y$  应被消除. 矛盾.

2.  $G(\Phi')$  中路可视为单点. 如取  $x_1 - x_2 - \cdots - x_k$  为  $G(\Phi')$  中一条路 (即  $P_n$  子图), 记  $x_0 = \sum_{i=1}^k x_i$ , 则

$$\langle x, x \rangle = \sum_{i=1}^k \langle x_i, x_1 \rangle + 2 \sum_{i < j} \langle x_i, x_j \rangle = k - (k-1) = 1.$$

由于任意路外点 (如取  $y$ ) 与路至多有一个交点, 从而  $\langle x, y \rangle \in \{0, -1/2\}$ .

结合上述两点论断, 任意链有至多一个分叉点, 即  $G(\Phi')$  有至多三个末端.

为方便, 约定  $\mathbb{B}^n$  为  $\mathbb{R}^n$  中的标准正交基.

## $A_n$ 图

若  $G(\Phi') = P_n$ , 考虑

$$A_n \sim \{\pm(e_i - e_j) : e_i, e_j \in \mathbb{B}^{n+1}, i \neq j\}$$

即可.

## $D_n$ 图

若  $G(\Phi')$  为有三个端点的树, 不妨设  $G(\Phi')$  由三条路  $\{u_i\}_{i=1}^p, \{v_i\}_{i=1}^q, \{u_i\}_{i=1}^r$  连接而成, 且令  $c = u_p = u_q = u_r$ . 记  $u = \sum_{i=1}^{p-1} i \cdot u_i, v = \sum_{i=1}^{q-1} i \cdot v_i, w = \sum_{i=1}^{r-1} i \cdot w_i$ , 则

$$1 = \langle c, c \rangle \geq \sum_{x \in \{u, v, w\}} \frac{\langle c, x \rangle^2}{\langle x, x \rangle} = \sum_{t \in \{p, q, r\}} \frac{1 - p^{-1}}{2}.$$

从而  $\frac{1}{p} + \frac{1}{q} + \frac{1}{r} \geq 1$ . 实际上, 若采用多数 Lie 群相关教材中对最简根系之定义,  $\Phi'$  中元素的线性无关性从定义中即可说明. 因此上式等号不可取.

依假定,  $p, q, r \geq 2$ . 从而  $p = q = 1$  时  $r \in \mathbb{N} = \{0, 1\}$ . 即

$$D_n \sim \{\pm e_i \pm e_j : e_i, e_j \in \mathbb{B}^n\}.$$

## $E_{6,7,8}$ 图

考虑解  $p = 2, q = 3, r = 3, 4, 5$ . 构造并检验之 (过程略) 得

$$E_8 \sim D_8 \cup \left\{ \sum_{i=1}^8 \frac{\varepsilon_i}{2} e_i : \varepsilon \in \{\pm 1\}, e_i \in \mathbb{B}^8, \prod_{i=1}^8 \varepsilon_i = 1 \right\}.$$

对应  $r = 6$  之情形.

$$E_7 \sim \{x \perp v : x \in E_8\} \quad \text{for any fixed } v \in E_8.$$

对应  $r = 5$  之情形.

$$E_6 \sim \{x \perp \text{span}(v_1, v_2, v_3) : x \in E_8\} \quad \text{for any fixed } v_i \in E_8.$$

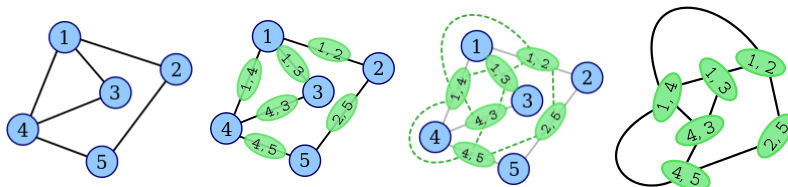
因此, 我们对所有  $\lambda_{\min} \geq -2$  的简单图之类别进行了初步界定.

# $\lambda_{\min} \geq -2$ 简单图之分类

本节将给出以下结论:

- 图  $G$  有  $A_n$  表示若且仅若  $G$  为某一顶点数为  $n + 1$  的二分图之线图.
- 图  $G$  有  $D_n$  表示若且仅若  $G$  为某一广义线图 (含不以  $A_n$  表示的线图).
- 图  $G$  有  $E_n$  表示若且仅若  $G$  为例外图.

对  $G$  而言, 线图  $L(G)$  以  $E(G)$  为顶点集合, 以  $E(G)$  中的边相邻关系决定  $V(L(G))$  中的顶点相邻关系. 下图为由  $G$  构造  $L(G)$  之方式.



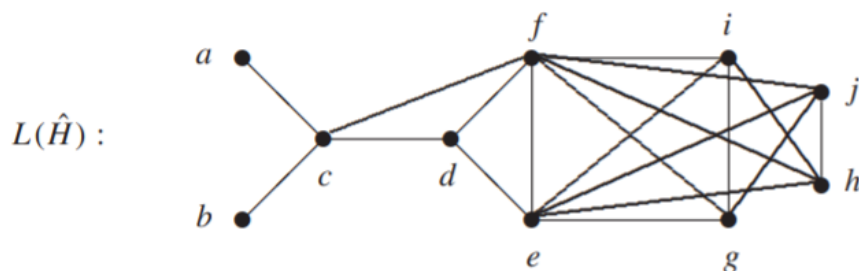
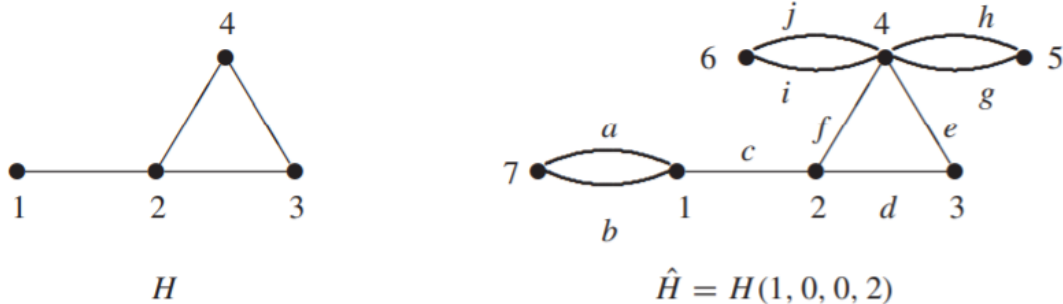
作  $G$  的导出矩阵  $B := (b_{ve})_{|V| \times |E|}$ ,  $b_{ve} = 1$  若且仅若点  $v$  与边  $e$  相连, 反之  $b_{ve} = 0$ . 从而  $B^T B - 2I_{|E|}$  即为  $G$  线图之邻接矩阵  $A(L(G))$ . 由于  $B^T B$  半正定,  $L(G)$  之特征值至少为  $-2$ .

若在  $G$  中顶点  $j$  处添上一条边得图  $G'$ , 则  $L(G)$  为  $L(G')$  的某一删点图. 特别地, 记  $A := A(L(G))$ , 则  $A(L(G'))$  具有一般形式  $\begin{pmatrix} 0 & u^T \\ u & A \end{pmatrix}$ . 对图  $G''$  使得

$$A(L(G'')) = \begin{pmatrix} 0 & 0 & u^T \\ 0 & 0 & u^T \\ u & u & A \end{pmatrix}.$$

经构造,  $G''$  并非简单图, 但可通过在简单图上添加重边获得. 由于  $A(L(G''))$  仍为简单图, 同时具备线图的重要特点:  $A(L(G'')) + 2I$  半正定, 即  $\lambda_{\min} \geq -2$ . 现称该类形如  $A(L(G''))$  的图为广义线图.

如下图所示, 构造广义线图的一般步骤如下:



1. 在简单图  $H$  的部分顶点处添加若干条花瓣 (pendant), 即有偶数条重边的添边. 例如  $\hat{H}$  由  $H$  于点 1 上添加一片花瓣, 于点 4 上添加两片花瓣所得.
2. 仿照线图的定义, 对  $\hat{H}$  中边进行编号. 其中, 两边相邻若且仅若仅有一个公共顶点. 例如,  $i \sim h$ ,  $c \sim a$ ; 但  $i \not\sim j$ .
3. 根据连边关系作线图  $L(\hat{H})$ .

注意到广义线图  $L(G, a_1, \dots, a_m)$  即线图  $L(G)$  上添加点

$$\{(i, \pm l) : i = 1, \dots, m, l = 1, \dots, a_i\}$$

所得. 记  $e_i + e_j$  为  $L(G, a_1, \dots, a_m)$  中由边  $ij \in E(G)$  对应点所表示的向量,  $e_i \pm e_{(i,l)}$  分别对应点  $(i, \pm l)$  即可得广义线图之  $D_n$  表示. 若  $G$  为二分图, 将边  $ij$  记作  $e_i - e_j$  即可得  $A_n$  表示. 此外, 应说明无法由  $A_n$  或  $D_n$  表示的图之存在性.

实际上, 部分满足  $\lambda_{\min} \geq -2$  之图不属于线图或广义线图, 如 Petersen 图. 注意到 Petersen 图中任意相邻的两点  $u, v$  满足  $N(u) \neq N(v)$ . 从而 Petersen 图并非广义线图. 假设存在  $H$  使得  $L(H)$  为 Petersen 图, 则由于 Petersen 图中相邻两点没有公共邻点, 故  $H$  中不含度至少为 3 的点. 显然  $H$  为若干圈, 散点及路之无交并. 矛盾.

注意到  $E_n$  有限, 故例外图有限. 从而对顶点足够多的连通图而言, 若  $\lambda_{\min} \geq -2$ , 则该图为线图或广义线图, 进而可通过合适的算法约化之.

就最小特征值严格大于  $-2$  的图而言, 可稽的结论<sup>[4]</sup>包括:

1. 若  $H$  为某一树的线图, 则  $\lambda_{\min} > -2$ .
2. 若  $H$  为某一树添上一片花瓣所生成的广义线图, 则  $\lambda_{\min} > -2$ .
3. 若  $H$  为顶点数为奇数的单圈图, 则  $\lambda_{\min} > -2$ .
4. 某些例外图也满足  $\lambda_{\min} > -2$ .

## $\lambda_{\min} = -2$ 的强正则图

本节将总结  $\lambda_{\min} = 2$  之强正则图, 原因有下:

1.  $\lambda_{\min} \geq 2$  的图系本文中心议题.
2. Seidel 证明了  $\lambda_{\min} > -2$  的所有强正则图无非  $K_n$  与  $C_5$ . 该结果较为平凡.

记强正则图  $G(v, k, \lambda, \mu)$  为一切满足以下条件的图

1.  $G$  为顶点数为  $v$  的正则图, 每条边度为  $k$ .
2.  $G$  中任意相邻的两点的公共邻点数量恒为  $\lambda$ .
3.  $G$  中任意不邻的两点的公共邻点数量恒为  $\mu$ .

强正则图  $G(v, k, \lambda, \mu)$  含有重数为 1 的主特征值  $k$ . 对任意非主特征值  $x$  所述的特征向量  $x$ , 有  $x^T \mathbf{1}_v = 0$ . 注意到

$$A^2 = kI + \lambda A + \mu(\mathbf{1}_{v \times v} - I_v - A).$$

从而

$$[A^2 + (\mu - \lambda)A + (\mu - k)I_v]x = \mathbf{0}_v.$$

解得

$$\begin{cases} \tau = \frac{1}{2} \left[ (\lambda - \mu) + \sqrt{(\lambda - \mu)^2 + 4(k - \mu)} \right], \\ \theta = \frac{1}{2} \left[ (\lambda - \mu) - \sqrt{(\lambda - \mu)^2 + 4(k - \mu)} \right]. \end{cases}$$

重数 $m_\tau$ 与 $m_\theta$ 满足 $\text{trace}(A) = \tau m_\tau + \theta m_\theta + k = 0$ , 以及 $m_\tau + m_\theta + 1 = n$ . 从而

$$\begin{cases} m_\tau = \frac{1}{2} \left[ v - 1 - \frac{2k + (v-1)(\lambda - \mu)}{\sqrt{(\lambda - \mu)^2 + 4(k - \mu)}} \right], \\ m_\theta = \frac{1}{2} \left[ v - 1 + \frac{2k + (v-1)(\lambda - \mu)}{\sqrt{(\lambda - \mu)^2 + 4(k - \mu)}} \right]. \end{cases}$$

对任意点 $v_0 \in G$ ,  $v_0$ 的邻点集向非邻点集引出 $k(k - \lambda - 1)$ 条边, 而 $v_0$ 邻点集向非邻点集引出 $\mu(v - k - 1)$ 条边, 从而 $k(k - \lambda - 1) = (v - k - 1)\mu$ .

当 $\theta = -2$ 时, 化简得 $k = 2\lambda - \mu + 4$ .

- 当 $\mu = 2$ 时, 得通解 $(n^2, 2(n-1), n-2, 2)$ , 其中 $n \geq 2$ .
- 当 $\mu = 4$ 时, 得通解 $(n(n-1)/2, 2(n-2), n-2, 4)$ , 其中 $n \geq 4$ .

当 $\mu \neq 2, 4$ 时, 由特征值关系化简知 $m_\tau = \frac{2v - k - 2}{\tau + 2} = \frac{(\mu + 2\tau)(\mu + 2\tau + 2)}{\mu(\tau + 2)}$ . 下从图的"部件"数量考察.

设 $x \sim a, b$ 但 $a \not\sim b$ , 记 $\{x, a, b\}$ 包含于 $c$ 个 $K_{1,3}$ 及 $q$ 个 $C_4$ . 这里限定 $K_{1,3}$ 中任意三点不为 $G$ 中某一 $K_3$ 的三个顶点, 例如 $G = K_4$ 不包含 $K_{1,3}$ , 但 $G = K_{3,3}$ 包含 $K_{1,3}$ . 计算 $x$ 邻点数量得

$$\begin{aligned} k &= \sum_{y \sim a, y \not\sim b, y \sim x} 1 + \sum_{y \not\sim a, y \sim b, y \sim x} 1 + \sum_{y \sim a, y \not\sim b, y \not\sim x} 1 - \sum_{y \sim a, y \sim b, y \sim x} 1 \\ &= 2 + 2\lambda - (\mu - 1 - q) + c \end{aligned}$$

故 $c + q = k - 3 - 2\lambda + \mu = 1$ . 因此 $c = 0, q = 1$ 或 $c = 1, q = 0$ .

若 $c = 1$ , 则不妨设 $\{x, a, b, c\}$ 组成 $K_{1,3}$ . 记 $N(v) := \{x : x \sim v\}$ 为 $v$ 之邻域,  $N(H) := \{x \in N(v) : v \in H\}$ 为 $H$ 之邻域,  $F(H) := V(G) \setminus (V(H) \cup N(H))$ 为外点集. 注意到

1.  $N(x) \cap F(a)$ 内,  $k - \lambda - 1 = \tau + 1$ 个点在 $\{b, c\} \cup N(b, c) \setminus \{x\}$ 中, 从而 $\tau \leq \mu$ .
2.  $(N(a) \cap F(x)) \cup \{a\}$ 中的 $k - \lambda$ 个点包含于 $F(\{b, c\})$ 中的 $\lambda = v - 2k + \mu - 2$ 个点, 从而 $v \geq 5\tau + \mu + 4$ .
3.  $\mu v = (k - \tau)(k + 2)$ , 从而 $v = 3\tau + \mu + 2 + \frac{2\tau(\tau + 1)}{\mu} \in \mathbb{N}$ . 因此 $\mu \leq r$ .

故得系数组

- $(6\tau + 4, 3\tau, 2\tau - 2, \tau)$ , 其中 $m_\tau = 9 - \frac{12}{\tau + 2} \in \mathbb{N}$ . 据 A. E. Brouwer 对 $\mu$ 界之估计 ( $v \leq \frac{m_\tau(m_\tau + 3)}{2}$ ), 取 $\tau = 1, 2, 4, 10$ 即可.

若 $q = 1$ ,  $\{x, a, b\}$ 属于唯一的 $C_4$ , 进而 $\mu$ 必为偶数,  $N(a, b)$ 包含为 $K_{(\mu/2) \times 2}$ . 若 $a \sim d \not\sim b$ , 则 $d$ 与 $N(a, b)$ 中的 $\mu/2$ 个点恰好相邻 (此处从 $K_{1,3}$ 之不存在性分析即可). 注意到 $F(b)$ 导出强正则图 (系数为 $(v - k - 1, k - \mu, \lambda - \mu/2, \mu)$ ), 此处允许 $v - k - 1 = 0$ 及 $k - \mu = 0$ 之情况.

- $v - k - 1 = 0$ 情形对应 $K_{2 \times n}$ .

若 $F(b)$ 导出完全图, 则 $m_\tau = 8 - \frac{12}{\tau + 2}$ . 从而枚举知

- $(10, 6, 3, 4), (16, 10, 6, 6)$ .

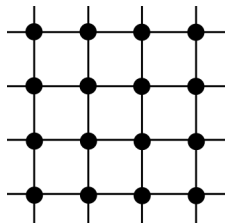
若 $F(b)$ 导出 (其余情形的) 强正则图, 则由

$$(k - \mu) = 2(\lambda - \mu/2) - \mu + 4$$

知  $F(b)$  导出的强正则图的最小特征值仍为  $-2$ . 该导出图的最大特征值重数为  $\frac{2\tau(\tau+1)}{(\tau-\mu/2+2)\mu/2}$ , 从而  $\mu$  仅可能为 6 或 8, 或该导出的强正则图为  $K_{2 \times n}$  形式. 就此再进行有限次的枚举, 最终整理得到七类可能的图.

1.  $K_{n \times 2}$ .

2.  $L_2(n)$ , 亦作  $H(2, n)$ . 系数为  $(n^2, 2(n-1), n-2, 2)$ . 前一种表示方式对应格点图 (lattice graph), 每一点仅与同行同列的点相连.



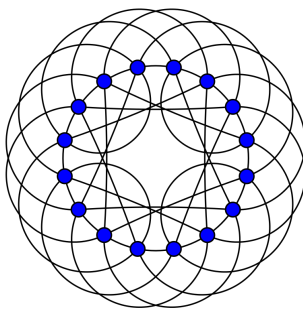
后一种表示方式为 2 阶 Hamming 图,  $H(2, n)$  的顶点集与  $V(K_n) \times V(K_n)$  相同, 记作

$$\{(x_1, x_2) : x_1, x_2 \in \{1, 2, \dots, n\}\}$$

$(x_i, x_j) \sim (x_k, x_l)$  若且仅若  $i = k$  或  $j = l$ .

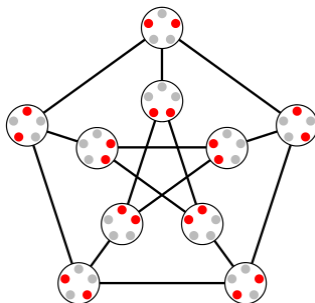
3.  $T(n)$ . 系数为  $(n(n-1)/2, 2(n-2), n-2, 4)$ . 构造与  $L_2(n)$  相似, 只是  $n$  阶正方形被换做了  $n$  阶三角形. 值得一提的是,  $T(n) = L(K_n)$ .

4. Shrikhand 图. Shrikhand 于 1959 年证明了结论: 格点图之系数决定了唯一的强正则图, 但  $n = 4$  例外. 实际上, Shrikhand 图与  $L_2(4)$  拥有相同的谱.



5. Chang 图.  $T(n)$  之系数确定了唯一的强正则图, 除了  $n = 8$  时的三个异构图. 该类图由 Chien-Chiang Lee (李建強) 首次发现, 图附于文末.

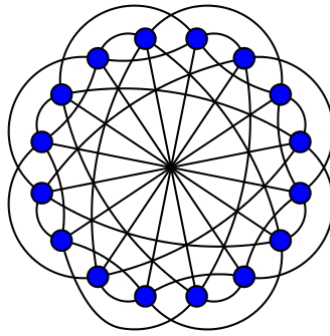
6. Petersen 图 ( $KG_{5,2}$ ), 系数为  $(10, 3, 0, 1)$ . 依  $KG_{5,2}$  之定义作下图



图中以  $\mathbb{Z}_5$  之二元子集为点, 连边若且仅若点所对应的子集相离.

7. Clebsch 图, 系数为  $(16, 10, 6, 6)$ . 这是证明末段  $\mu = 6$  情形所对应的结果, 其形如下.



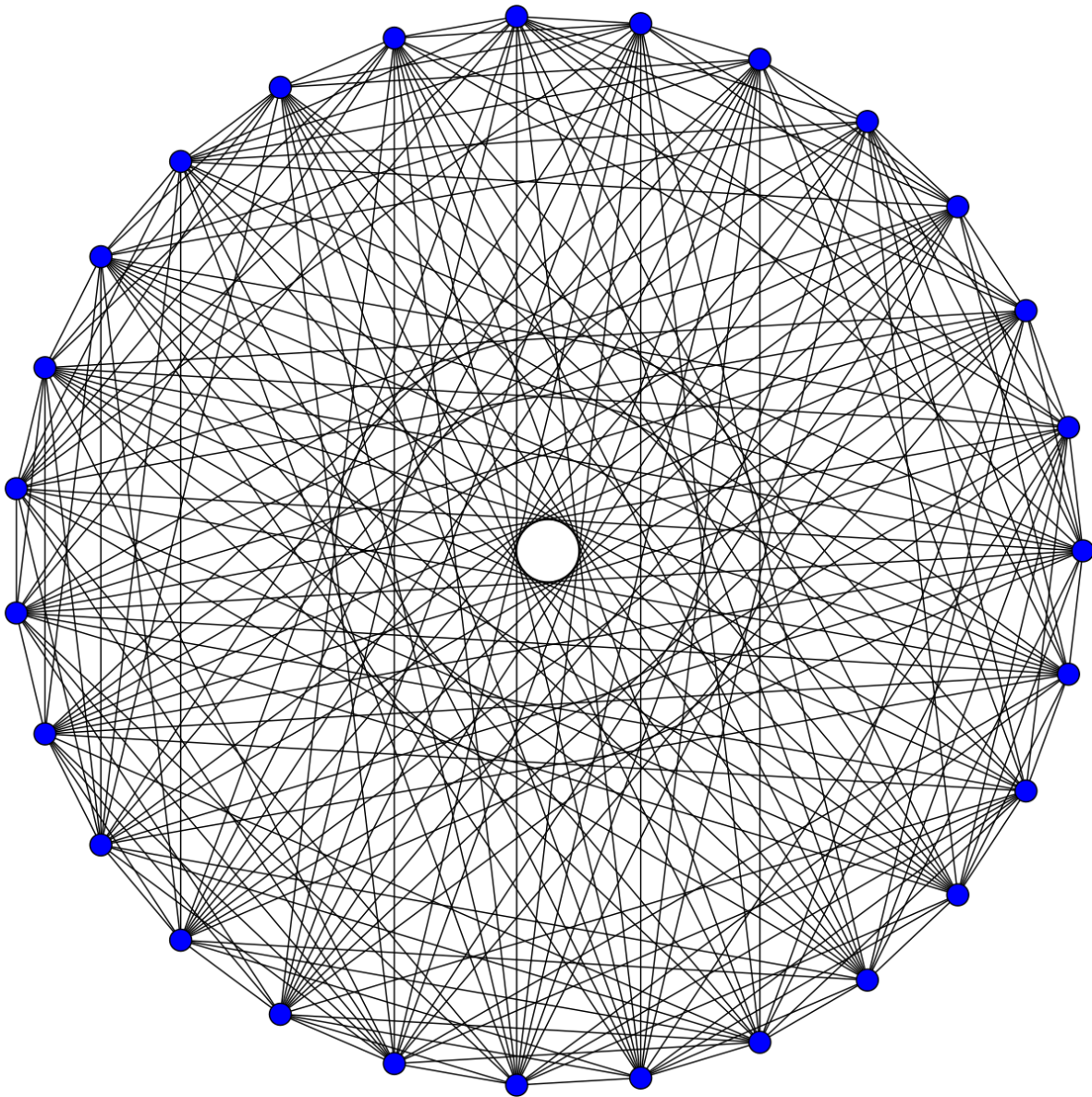


8. Schläfli 图, 系数为  $(27, 16, 10, 8)$ . 这是证明末段  $\mu = 8$  情形所对应的结果. 善洞若观火, 明察秋毫者可领会 Schläfli 图中任意一点的邻域 (16个点) 导出 Clebsch 图之补图. Schläfli 图附于文末.

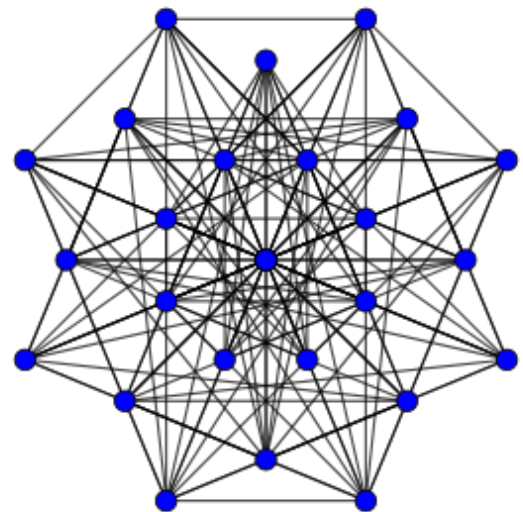
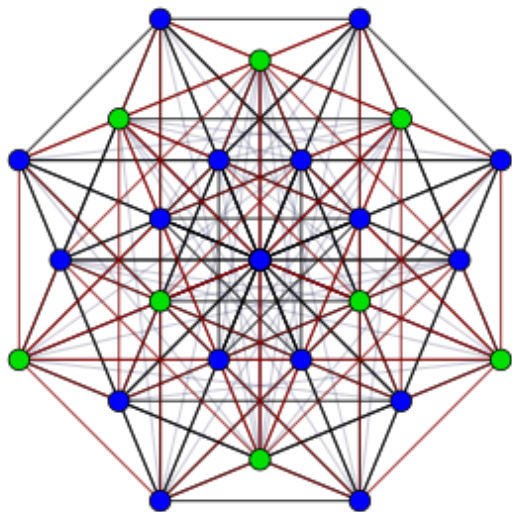
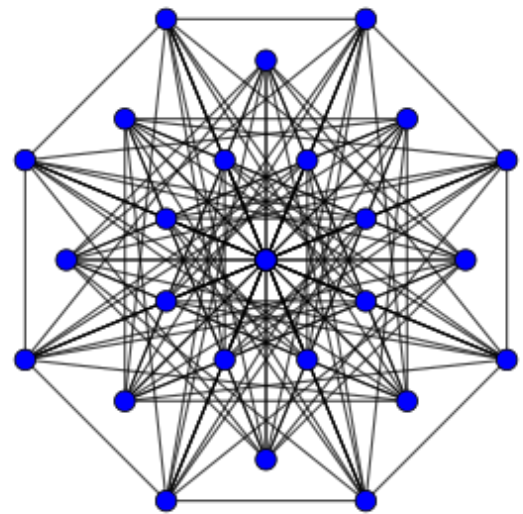
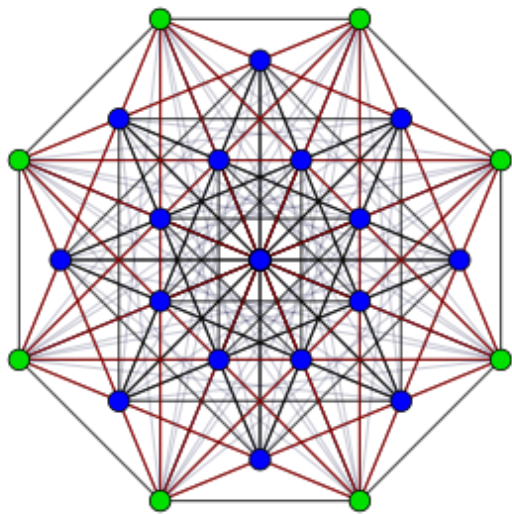
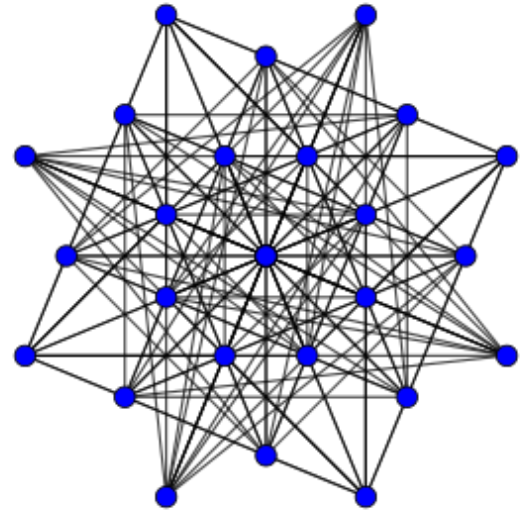
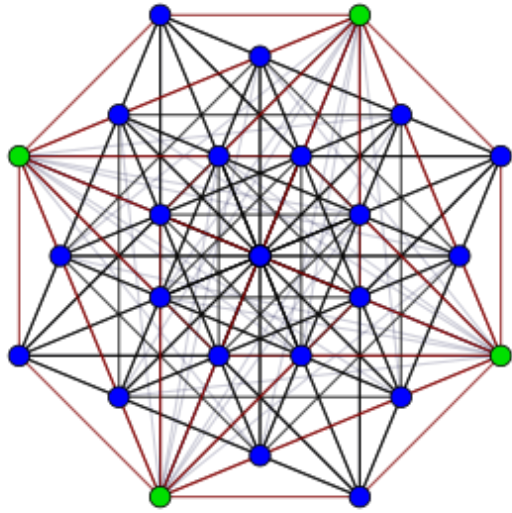
## 参考文献

---

- [1] Douglas B. West. *Introduction to Graph Theory*. Pearson Education, Inc., 221 River Street Hoboken, NJ 07030 U.S.A., 2002.
- [2] Slobodan Simić, Dragoš Cvetković, Peter Rowlinson. *An Introduction to the Theory of Graph Spectra*. Cambridge University Press, The Edinburgh Building, Cambridge CB2 8RU, U.K., 2002.
- [3] G.F. Royle C. Godsil. *Algebraic Graph Theory (Graduate Texts in Mathematics, 207)*. Springer Publishing Company, Inc., New York, U.S.A., 2002.
- [4] Daniel Bump. *Lie Groups (Graduate Texts in Mathematics, 136)*. Springer Publishing Company, Inc., New York, U.S.A., 2013.
- [5] Andries E. Brouwer, Hendrik Van Maldeghem, *Strongly regular graphs*, a preprint downloaded 2021-06-17 from [Here](#), listed as fragments of a text on strongly regular graphs in section 2021 of [This](#).



Schläfli图



Chang图

